

## ОЦЕНКА КАЧЕСТВА МОДЕЛИРОВАНИЯ СПЕКТРОВ ВЕТРОВОГО ВОЛНЕНИЯ В ПРИБРЕЖНОЙ ЗОНЕ ЧЕРНОГО МОРЯ

Мысленков Станислав Александрович<sup>1,2</sup>, Бадулин Сергей Ильич<sup>2</sup>, Лопатухин Леонид Иосифович<sup>3</sup>, Архипкин Виктор Семенович<sup>1</sup>, Adem Akpinar<sup>4</sup>, Bilal Bingölbalı<sup>4</sup>  
Mehmet Burak Soran<sup>4</sup>

<sup>1</sup>Московский государственный университет имени М.В. Ломоносова, Москва

<sup>2</sup>Институт океанологии имени П.П. Ширшова РАН, Москва

<sup>3</sup>Санкт-Петербургский государственный университет, Санкт-Петербург

<sup>4</sup>Uludag University, Bursa, Turkey

### Введение

Сведения о состоянии и развитии ветрового волнения в морских акваториях являются одними из самых востребованных со стороны многочисленных пользователей морской гидрометеорологической информации (мореплавание, спасательные операции, морской промысел, освоение минеральных ресурсов, экологические приложения и многие другие).

Ранее авторы создали несколько различных реализаций волновых моделей для акватории Черного моря [Бухановский, Лопатухин и др. 2009; Мысленков и др., 2014; Мысленков и др., 2016; Akpinar et al., 2016; Тоторов et al., 2012]. В основе реализаций была спектральная волновая модель SWAN с различными настройками на регулярной или неструктурной вычислительной сетке. Оценка качества моделирования производилась для высоты и периода волн на основе данных закоренных буев. Также модельная высота волн сравнивалась с данными спутниковых наблюдений. Оценки качества высоты волн при сравнении с данными наблюдений в среднем следующие: среднеквадратическое отклонение (RMSE) = 0.25–0.35 м, систематическая ошибка (R) = 0.85–0.9.

Однако, ранее практически не производилось сопоставлений модельных спектров с измеренными. В 2020 к северо-западу мыса Малый Утриш был установлен волновой буй и получены волновые спектры. В данной работе было произведено сопоставление спектров, полученных по результатам моделирования со спектрами волн по данным измерений. За время измерений наблюдался шторм с высотой значительных волн до 4 м, что позволило произвести сравнение для разных стадий развития штorma.

### Данные и методы

Волномерный буй Datawell DWRG-4 (частота опроса 1.25 Гц) был установлен на глубине 18 м (рис. 1). Данные измерений охватывают период с 31.01.2020 по 21.02.2020. По данным буя был получен массив данных о высоте значительных волн, периоде T02 (zero-crossing) и волновых спектрах с шагом по времени 1 час.

Расчеты ветрового волнения были выполнены по спектральной волновой модели SWAN в нескольких реализациях, с разной вычислительной сеткой. Шаг неструктурной сетки разных реализаций для прибрежной зоны Черного моря варьировался от 120 до 1700 м. Для открытой части Черного и Азовского морей шаг изменялся от 5 до 15 км (рис. 2). Благодаря высокому пространственному разрешению некоторых реализаций стало возможным произвести сопоставление с данными буя, расположенного на расстоянии всего 1 км от берега.

При запуске модели использовался режим «GEN3», и стандартные настройки, рекомендуемые разработчиками. При расчете спектров, дискретизация по направлению осуществлялась на равномерной сетке с шагом 5°, а дискретная зависимость от частоты представлялась на логарифмической сетке (31 частота от 0.04 до 1.0 Гц). При моделировании волнения использовались данные о ветре из реанализа NCEP/CFSv2 (2011–2020) с разрешением ~0.2°. Выдача результатов моделирования (стандартных параметров волн и спектров) производилась с шагом 30 мин. Более подробное описание модели, вычислительных сеток и полученных ранее оценок качества приведено в работах [Мысленков и др., 2014; Мысленков и др., 2016; Akpinar et al., 2016].

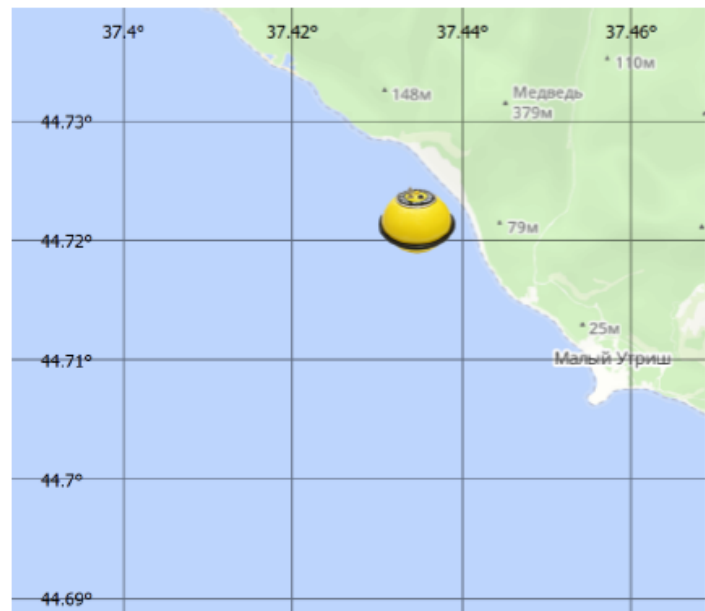


Рис 1. Расположение волнового буя в прибрежной зоне Черного моря.

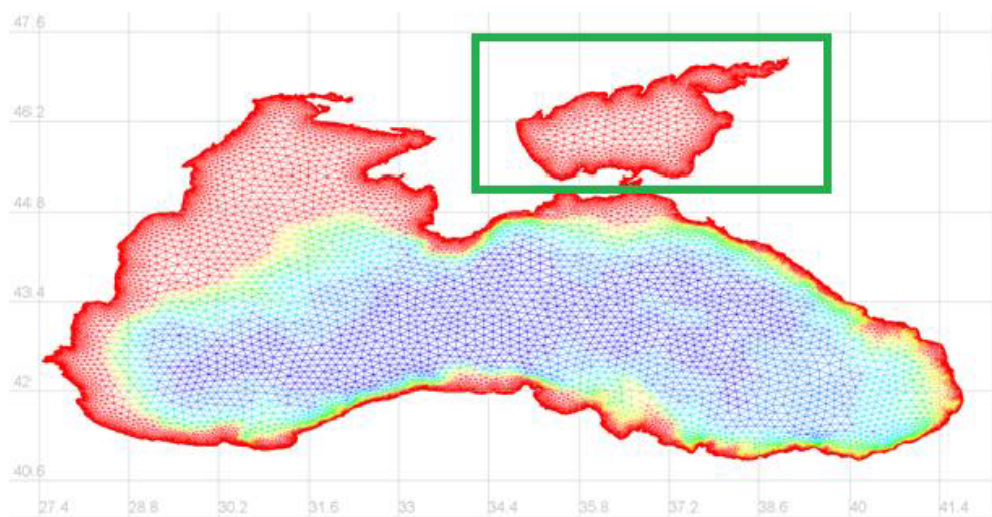


Рис 2. Вычислительная неструктурная сетка для расчетов ветрового волнения в Черном и Азовском морях.

## Результаты

Данные измерений высот значительных волн и средних периодов были сопоставлены с результатами моделирования (рис. 3). В целом по высоте волн основные события модель воспроизводит, однако, имеются завышения и занижения модельных оценок высот волн по сравнению с измерениями. Коэффициент корреляции составляет 0.8, а систематическая ошибка 0.1 м. По среднему периоду ситуация похожа. Коэффициент корреляции составляет 0.89, а систематическая ошибка -0.09 с. Максимальное значение высоты волн по данным

измерений за исследуемый период было зафиксировано 11 февраля в 14:43 и составило 4.03 м. По данным моделирования для этого срока высота волн составила 3.2 м.

Во время шторма 10-15 февраля было выбрано нескольких сроков, для которых были проанализированы волновые спектры (рис. 3). Первый срок выбран на этапе роста волны, второй для развитого волнения и третий при затухании волн финальной стадии шторма. В эти сроки высота значительных волн по данным измерений и моделирования практически полностью совпадает, следовательно, интегралы по спектрам должны соответствовать друг другу.

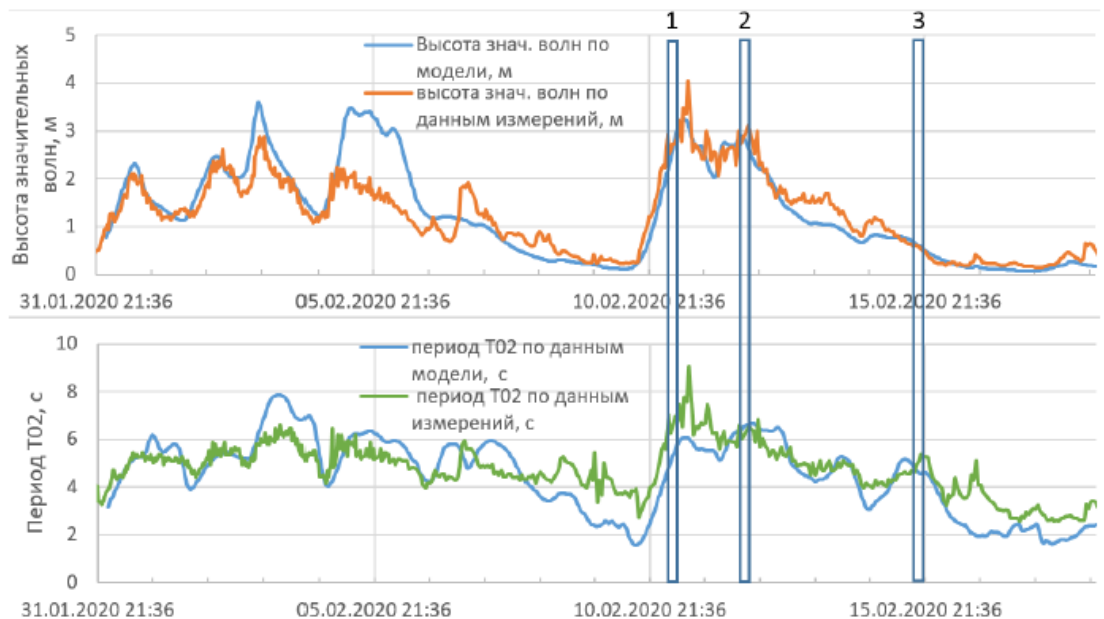


Рис.3. Высота значительных волн и средний период T02 по данным моделирования и измерений. Цифрами 1, 2, 3 обозначены сроки, для которых анализировались волновые спектры.

Волновые спектры для 1, 2 и 3 срока приведены на рис. 4. Для первого срока максимальные значения спектральной энергии приходятся на частоту 0.13 Гц (7.7 сек) и по модели, и по измерениям. По данным измерений на частоте 0.16 наблюдается небольшой высокочастотный пик, который отсутствует в модельном спектре. Для второго срока максимум спектральной энергии по данным измерений приходится на частоту 0.12 Гц, а по модели 0.116, в низкочастотной области модельный спектр обладает большей энергией, чем спектр по данным измерений. Это расхождение прежде всего связано с низким частотным разрешением в модели. Для третьего срока абсолютные значения спектральной плотности невелики, так как высота значительных волн составляет 0.7 м. По данным измерений в спектре присутствует 2 пика на частотах 0.135 Гц и 0.16 Гц. По результатам моделирования присутствует один пик на частоте 0.16 Гц, что вызывает вопросы к модели, хотя смещение энергии в низкочастотную часть в модели должно работать корректно.

Полученные результаты позволяют считать, что в ряде случаев спектральная волновая модель SWAN вполне корректно рассчитывает форму спектра. Для тех случаев, когда высота значительных волн существенно отличается, форма спектров по измерениям и моделированию также различается.

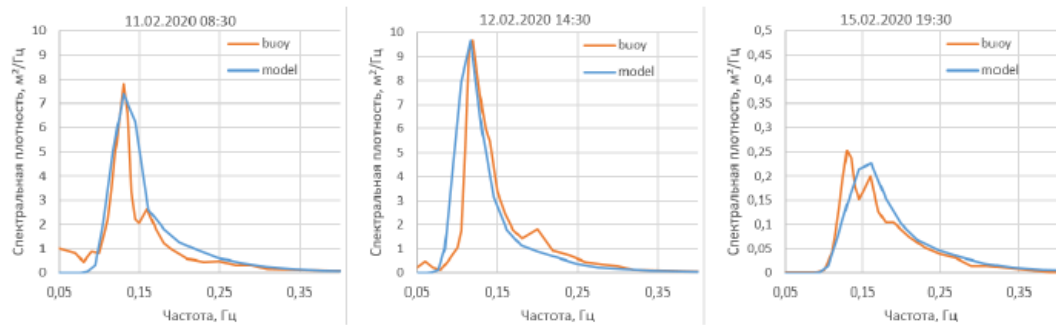


Рис.4. Волновые спектры по данным моделирования и измерений для трех сроков: 1) - 11.02 08:30, 2) - 12.02 14:30, 3) - 15.02 19:30.

### Заключение

На основе результатов моделирования ветрового волнения в прибрежной зоне Черного моря произведена оценка качества спектра ветровых волн. Моделирование волнения выполнено использованием спектральной модели SWAN с высоким пространственным разрешением в прибрежной зоне Черного моря. Результаты моделирования были сопоставлены с данными измерений. В целом по высоте волн основные события модель воспроизводит, однако, присутствуют факты завышения и занижения значений моделью. Коэффициент корреляции составляет 0,8, а систематическая ошибка 0,1 м. Полученные результаты позволяют считать, что как правило спектральная волновая модель SWAN вполне корректно рассчитывает форму спектра. Причины расхождений являются предметом наших будущих исследований.

### Благодарность

Работа выполнена при финансовой поддержке РФФИ в рамках научного проекта № 20-55-46007. The work was also supported by TUBITAK (The Scientific and Technological Research Council of Turkey) under grant number 119N480.

### Список литературы

- Бухановский А. В., Лопатухин Л.И., Чернышева Е.С., Колесов А.М. Шторм на Черном море 11 ноября 2007 и статистики экстремальных штормов моря. //Известия русского географического общества. 2009. Вып. 2. – С. 71-84.
- Мысленков С.А., Архипкин В.С. Система регионального прогноза ветрового волнения в Цемесской бухте Черного моря // Труды Государственного океанографического института. 2014. № 215. С. 117-125.
- Мысленков С.А., Столярова Е.В. Прогноз ветрового волнения в Черном море с использованием прогностических полей ветра различного пространственного разрешения // Труды Гидрометцентра России. - 2016. - № 362. - С. 55-65.
- Akpinar, A., Bingölbaşı, B., Van vledder, G.Ph. Wind and wave characteristics in the Black Sea based on the SWAN wave model forced with the CFSR winds // Ocean Engineering, 126 (2016) 276–298.
- Toropov P.A., Myslenkov S.A., Shestakova A.A. Numerical simulation of Novorossiysk bora and related wind waves using the WRF-ARW and SWAN models // Russian Journal of Earth Sciences. 2012. Т. 12. № 6. С. ES6001.